

УДК 546.185:542.91.73712

Н.М. Антрапцева, Н.В. Ткачова

СИНТЕЗ ТВЕРДОГО РОЗЧИНУ ГІДРАТОВАНИХ ДИФОСФАТІВ Co(II) І Mn(II)

Вперше визначено умови утворення та взаємодією водних розчинів сульфатів Co(II) і Mn(II) та калій дифосфату синтезовано твердий розчин гідратованих дифосфатів загальної формули $Co_{2-x}Mn_xP_2O_7 \cdot 6H_2O$. Встановлено, що за хімічною природою він є обмеженим твердим розчином заміщення, області гомогенності якого змінюються в межах $0 < x \leq 0.23$. Утворюються дифосфати складу $Co_{2-x}Mn_xP_2O_7 \cdot 6H_2O$ ($0 < x \leq 0.23$) внаслідок ізоморфного заміщення кобальту (II) манганом (II) у структурі дифосфату-матриці $Co_2P_2O_7 \cdot 6H_2O$. Кристалізуються синтезовані дифосфати в моноклінній сингонії (просторова група $P2_1/n$, $Z=4$) з параметрами елементарної комірки, які знаходяться в лінійній залежності від вмісту Co(II) і Mn(II). Наведено кристалографічні та ІЧ-спектроскопічні характеристики дифосфатів твердого розчину.

Гідратовані дифосфати кобальту (II) і мангану (II) застосовують в якості основи різноманітних неорганічних матеріалів — люмінофорів, каталізаторів органічного синтезу, пігментів, термочувливих фарб, антикорозійних покриттів тощо [1, 2]. Перспективними для створення нових матеріалів з покращеними експлуатаційними характеристиками, які можна змінювати, варіюючи їх склад, є тверді розчини гідратованих дифосфатів кобальту (II) і мангану (II). Відомості про умови їх синтезу та фізико-хімічні характеристики в літературі відсутні.

Мета даної роботи — дослідити умови утворення та синтезувати новий твердий розчин гідратованих дифосфатів кобальту (II) і мангану (II) на основі структури дифосфату-матриці $Co_2P_2O_7 \cdot 6H_2O$, отримати його рентгенометричні та ІЧ-спектроскопічні характеристики.

ЕКСПЕРИМЕНТ І ОБГОВОРЕННЯ РЕЗУЛЬТАТИВ. Одержували твердий розчин гідратованих дифосфатів кобальту (II) і мангану (II) взаємодією водних розчинів сульфатів Co(II) і Mn(II) та калій дифосфату. Спільне осадження катіонів Co^{2+} і Mn^{2+} здійснювали за умов, визначених як оптимальні для осадження індивідуальних $Co_2P_2O_7 \cdot 6H_2O$ і $Mn_2P_2O_7 \cdot 5H_2O$: концентрація вихідних розчинів 0.1 моль/л, співвідношення в їх складі $n = \frac{P_2O_7^{4-}}{Co^{2+}}, Mn^{2+} = 0.2$; тривалість контакту твердої фази з маточним розчином — за досягнення рівноваги; температурний інтервал взаємодії — 293–298 К [3, 4]. Співвідношення катіонів у складі вихідних розчинів змінювали в межах $9.00 \leq K = \frac{Co^{2+}}{Mn^{2+}} \leq 49.0$.

Вміст фосфору в складі твердої фази встановлювали ваговим хінолінмолібдатним методом аналогічно [5], води — за втратою маси зразків

при нагріванні до 1073 К, Co(II) і Mn(II) — комплексонометричним титруванням суми катіонів Co^{2+} і Mn^{2+} (зворотне титрування, трилон Б, стандартний розчин цинк сульфату, індикатор еріохром чорний Т, аміачний буферний розчин з рН 10.0), Co^{2+} — спектрофотометричним методом (спектрофотометр СФ-46). Вміст мангану розраховували як різницю між сумою катіонів і вмістом Co^{2+} [6, 7].

Для ідентифікації та вивчення синтезованих дифосфатів використовували рентгенівський фазовий (дифрактометр ДРОН-4-М, FeK_{α} -випромінювання, внутрішній стандарт NaCl) та ІЧ-спектроскопічний аналізи (спектрометр Nexus-470, діапазон частот 400–4000 cm^{-1} , пресування фіксованої наважки (0.05 %) в матрицю KBr). Потенціометричні дослідження виконували за допомогою рН-метра-мілівольметра рН-150М.

Аналіз результатів потенціометричних досліджень показав, що тривалість досягнення рівноваги між твердою фазою і маточним розчином у системі $CoSO_4$ — $MnSO_4$ — $K_4P_2O_7$ — H_2O є однаковою незалежно від вмісту Co^{2+} і Mn^{2+} у вихідних розчинах $9.00 \leq K \leq 49.0$ і складає 8–9 діб (рис. 1). Щодо характеру взаємодії, про який свідчить хід кривих, то він за умов $19.00 \leq K \leq 49.0$ (криві 1–4) аналогічний і відрізняється від кривих 5, 6, що відповідають взаємодії при K 13.29 і 9.00.

Результати хімічного аналізу твердої фази, одержаної за всіх значень K із області $9.00 \leq K \leq 49.0$, включаючи випадок, коли Mn^{2+} у складі вихідних розчинів відсутній (табл. 1), свідчать про осадження дифосфатів (атомне співвідношення $n_I = \frac{P}{\sum Co, Mn} = 1.00$). Їх аніонний склад на 97.0–98.2 % відн. представлений дифосфатним аніоном. Катіонний склад дифосфатів визначається

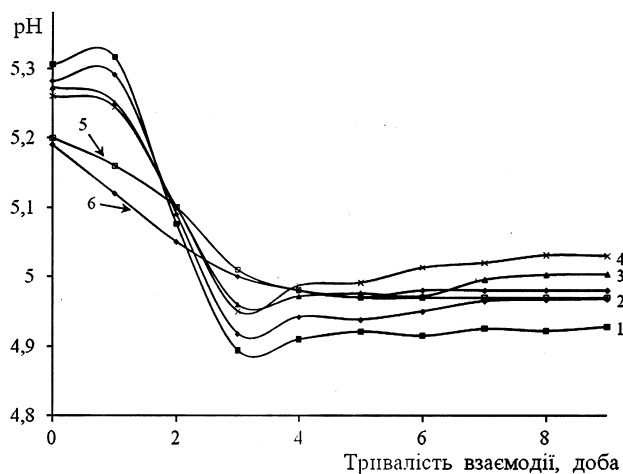


Рис. 1. Зміна рН маточних розчинів під час взаємодії в системі $\text{CoSO}_4\text{—MnSO}_4\text{—K}_4\text{P}_2\text{O}_7\text{—H}_2\text{O}$ за відсутності Mn^{2+} (1), при значеннях K ($K = \text{Co}^{2+}/\text{Mn}^{2+}$): 49.00 (2), 32.33 (3), 19.00 (4), 13.29 (5), 9.00 (6).

значенням K у складі вихідних розчинів і змінюється відповідно до вмісту в них Co^{2+} і Mn^{2+} (рис. 2). Щодо вмісту води, то він практично однаковий для дифосфатів, одержаних при $19.00 \leq K \leq 49.0$, і доволі різко зростає в складі дифосфатів, що осаджуються за умов $9.00 \leq K \leq 13.29$. Склад твердої фази, одержаної за відсутності мангану (II), відповідає розрахунковим значенням для $\text{Co}_2\text{P}_2\text{O}_7 \cdot 6\text{H}_2\text{O}$.

Дані хімічного аналізу твердої фази повністю корелюють з результатами рентгенофазового

Т а б л и ц я 1

Характеристика синтезованих дифосфатів ($n = \text{P}_2\text{O}_7^{4-}/\sum \text{Co}^{2+}$, $\text{Mn}^{2+} = 0.2$, $\text{C}^0 = 0.1$ моль/л, 298 К)

Склад вихідних розчинів			Склад твердої фази, % мас.				Хімічний склад	Фазовий склад (за результатами РФА та ІЧ-спектроскопії)
$K = \text{Co}^{2+}/\text{Mn}^{2+}$	CoSO_4 % мол.	MnSO_4 % мол.	Со	Мп	Р	H_2O		
—	100	0	$\frac{29.51}{29.47^*}$	—	$\frac{15.37}{15.49^*}$	$\frac{27.41}{27.03^*}$	$\text{Co}_2\text{P}_2\text{O}_7 \cdot 6\text{H}_2\text{O}$	
49.00	98	2	27.68	1.54	15.35	27.58	$\text{Co}_{1.90}\text{Mn}_{0.10}\text{P}_2\text{O}_7 \cdot 6\text{H}_2\text{O}$	Твердий розчин $\text{Co}_{2-x}\text{Mn}_x\text{P}_2\text{O}_7 \cdot 6\text{H}_2\text{O}$ ($0 < x \leq 0.23$)
32.33	97	3	26.89	2.17	15.36	27.55	$\text{Co}_{1.84}\text{Mn}_{0.16}\text{P}_2\text{O}_7 \cdot 6\text{H}_2\text{O}$	
19.00	95	5	26.18	3.47	15.44	27.52	$\text{Co}_{1.77}\text{Mn}_{0.23}\text{P}_2\text{O}_7 \cdot 6\text{H}_2\text{O}$	
13.29	93	7	25.31	5.14	15.58	26.04	$\text{Co}_{1.77}\text{Mn}_{0.23}\text{P}_2\text{O}_7 \cdot 6\text{H}_2\text{O}$	Механічна суміш фаз із структурами $\text{Co}_2\text{P}_2\text{O}_7 \cdot 6\text{H}_2\text{O}$ і $\text{Mn}_2\text{P}_2\text{O}_7 \cdot 5\text{H}_2\text{O}$
9.00	90	10	23.53	7.79	15.65	25.77	$\text{Mn}_{1.17}\text{Co}_{0.83}\text{P}_2\text{O}_7 \cdot 5\text{H}_2\text{O}$	

* Розрахункові значення.

аналізу, за якими дифосфат, що утворюється за відсутності Mn^{2+} , ідентифікований як індивідуальний $\text{Co}_2\text{P}_2\text{O}_7 \cdot 6\text{H}_2\text{O}$. Його рентгенометричні характеристики відповідають одержаним для синтезованого $\text{Co}_2\text{P}_2\text{O}_7 \cdot 6\text{H}_2\text{O}$ [3]. Дифосфати, в складі яких містяться одночасно два катіони ($9.0 \leq K \leq 49.0$), за фазовим складом поділяються на дві різні групи (табл. 2). До першої з них належать дифосфати, одержані за значень K з області $19.00 \leq K \leq 49.0$, до другої — за умов $9.00 \leq K \leq 19.0$. Рентге-

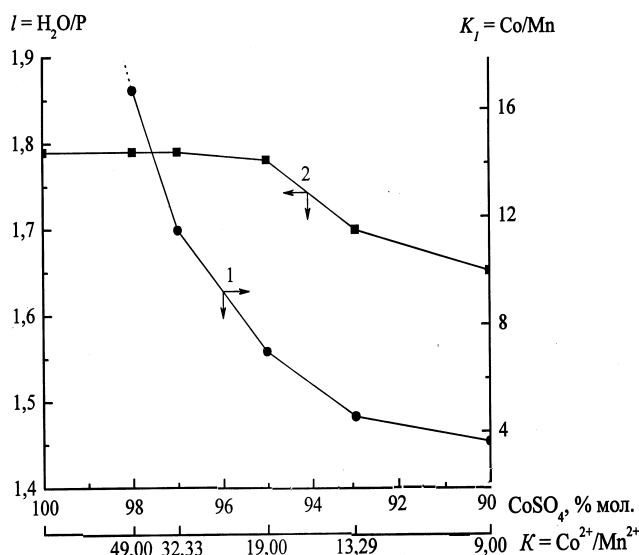


Рис. 2. Залежність катіонного складу (1) та гідратності дифосфатів ($l = \text{H}_2\text{O}/\text{P}$) (2) від складу вихідних розчинів. K_1 — відношення Co/Mn (атомне) у складі твердої фази.

Т а б л и ц я 2

Рентгенометричні характеристики $\text{Co}_{2-x}\text{Mn}_x\text{P}_2\text{O}_7 \cdot 6\text{H}_2\text{O}$ ($0 < x \leq 0.23$)

$\text{Co}_{1.90}\text{Mn}_{0.10}\text{P}_2\text{O}_7 \cdot 6\text{H}_2\text{O}$			$\text{Co}_{1.77}\text{Mn}_{0.23}\text{P}_2\text{O}_7 \cdot 6\text{H}_2\text{O}$		
<i>d</i> , нм	<i>I</i> / <i>I</i> ₀	<i>hkl</i>	<i>d</i> , нм	<i>I</i> / <i>I</i> ₀	<i>hkl</i>
0.920	10	020	0.920	5	020
0.710	12	011	0.714	8	011
0.671	17	110	0.675	13	110
0.569	50	120	0.569	36	120
0.517	100	101	0.517	100	101
0.494	50	111	0.496	27	111
0.462	65	130	0.465	47	130
0.448	40	121	0.449	18	121
0.386	17	140	0.386	8	140
0.360	8	200	0.361	7	200
0.353	32	022	0.354	25	0.22
0.349	6	$\bar{1}41$	0.348	5	$\bar{1}41$
0.335	25	220	0.336	15	220
0.321	17	150	0.323	8	150
0.313	18	122	0.313	15	$\bar{1}22$
0.304	17	122	0.306	10	122
0.2970	10	060	0.2980	5	060
0.2860	85	042	0.2872	45	042
0.2760	7	240	0.2770	5	240
0.2590	10	202	0.2610	5	202
0.2520	16	250	0.2570	10	250
0.2360	7	$\bar{1}13$	0.2380	6	$\bar{1}13$
0.2318	25	320	0.2350	20	320
0.2267	26	260	0.2278	25	260
0.2140	5	133	0.2155	5	133
0.2120	9	$\bar{2}52$	0.2160	5	$\bar{2}52$
0.2030	10	$\bar{2}53$	0.2070	5	$\bar{2}23$
0.1967	26	190	0.1970	25	190

нометричні характеристики дифосфатів першої групи аналогічні між собою і відповідають одержаним для $\text{Co}_2\text{P}_2\text{O}_7 \cdot 6\text{H}_2\text{O}$. По мірі збільшення в їх складі вмісту мангану (II) на рентгенограмах спостерігається зсув значень міжплощинних відстаней, який відбувається у відповідності до значень йонних радіусів Co^{2+} ($r_{\text{йон}}=0.088$ нм) і Mn^{2+} ($r_{\text{йон}}=0.097$ нм). На рентгенограмах дифосфатів, одержаних при $9.00 \leq K < 19.00$ (друга група), фіксуються додаткові рефлекси ($d_{\text{експ}}$ 1.290, 0.640, 0.599, 0.554, 0.415 нм), що характеризують наявність другої кристалічної фази, ідентифікованої, враховую-

чи дані [5], як фаза зі структурою $\text{Mn}_2\text{P}_2\text{O}_7 \cdot 5\text{H}_2\text{O}$.

Різний фазовий склад цих двох груп синтезованих дифосфатів відображується і в їх ІЧ-спектрах (рис. 3). Форми спектральних кривих, набір, інтенсивність та максимуми смуг поглинання в ІЧ-спектрах дифосфатів, одержаних при $19.00 \leq K \leq 49.0$, ідентичні між собою і відповідають відомим для індивідуального $\text{Co}_2\text{P}_2\text{O}_7 \cdot 6\text{H}_2\text{O}$ [8]. ІЧ-спектри дифосфатів другої групи мають особливості, характерні для механічної суміші двох фаз із різними структурами — $\text{Co}_2\text{P}_2\text{O}_7 \cdot 6\text{H}_2\text{O}$ і $\text{Mn}_2\text{P}_2\text{O}_7 \cdot 5\text{H}_2\text{O}$. Найбільш чітко вони фіксуються в області коливань молекул води: зменшується кількість смуг поглинання з 6 до 5 в області валентних коливань ОН-груп молекул води ($3600\text{—}3200$ cm^{-1}), зникає смуга з максимумом 1537 cm^{-1} в області деформаційних коливань молекул води. В інтервалі частот $1200\text{—}990$ cm^{-1} , що відповідають валентним коливанням груп PO_3 , інтенсивна смуга 1026 cm^{-1} перетворюється на плече 1028 cm^{-1} ; в області $950\text{—}890$ cm^{-1} , характеристичній для асиметричних коливань $\nu_{\text{ас}}(\text{POP})$ місткового зв'язку P—O—P зникає смуга 881 cm^{-1} .

Інтерпретація даних хімічного аналізу, рентгенометричних та ІЧ-спектроскопічних досліджень одержаних дифосфатів свідчить про те, що в області значень $19.00 \leq K \leq 49.0$ утворюється твердий розчин гідратованих дифосфатів $\text{Co}(\text{II})$ і $\text{Mn}(\text{II})$ загальної формули $\text{Co}_{2-x}\text{Mn}_x\text{P}_2\text{O}_7 \cdot 6\text{H}_2\text{O}$. Області його гомогенності змінюються в межах $0 < x \leq 0.23$. Склад насиченого твердого розчину відповідає дифосфату $\text{Co}_{1.77}\text{Mn}_{0.23}\text{P}_2\text{O}_7 \cdot 6\text{H}_2\text{O}$. Утворюється він в результаті ізоморфного заміщення $\text{Co}(\text{II})$ на $\text{Mn}(\text{II})$ у структурі дифосфату-матриці — $\text{Co}_2\text{P}_2\text{O}_7 \cdot 6\text{H}_2\text{O}$. Спроби замістити на $\text{Mn}(\text{II})$ більш ніж 3.47 % мас. $\text{Co}(\text{II})$ приводить до осадження механічної суміші двох кристалічних фаз — насиченого твердого розчину заміщення $\text{Co}_{1.77}\text{Mn}_{0.23}\text{P}_2\text{O}_7 \cdot 6\text{H}_2\text{O}$ та фази структури $\text{Mn}_2\text{P}_2\text{O}_7 \cdot 5\text{H}_2\text{O}$. Такий же склад обмеженого твердого розчину заміщення був встановлений і під час аналізу зміни значень коефіцієнта $l = \text{H}_2\text{O}/\text{P}$, який визначається вмістом води у складі гідратованих дифосфатів, що осаджуються (рис. 2).

За візуальними спостереженнями дифосфати твердого розчину — полікристали рожевого забарвлення, насиченість кольорового тону яких визначається в основному вмістом $\text{Co}(\text{II})$ і змінюється від насиченого рожевого для $\text{Co}_2\text{P}_2\text{O}_7 \cdot 6\text{H}_2\text{O}$ до світло-рожевого для дифосфату з максимальним вмістом $\text{Mn}(\text{II})$ — $\text{Co}_{1.77}\text{Mn}_{0.23}\text{P}_2\text{O}_7 \cdot 6\text{H}_2\text{O}$.

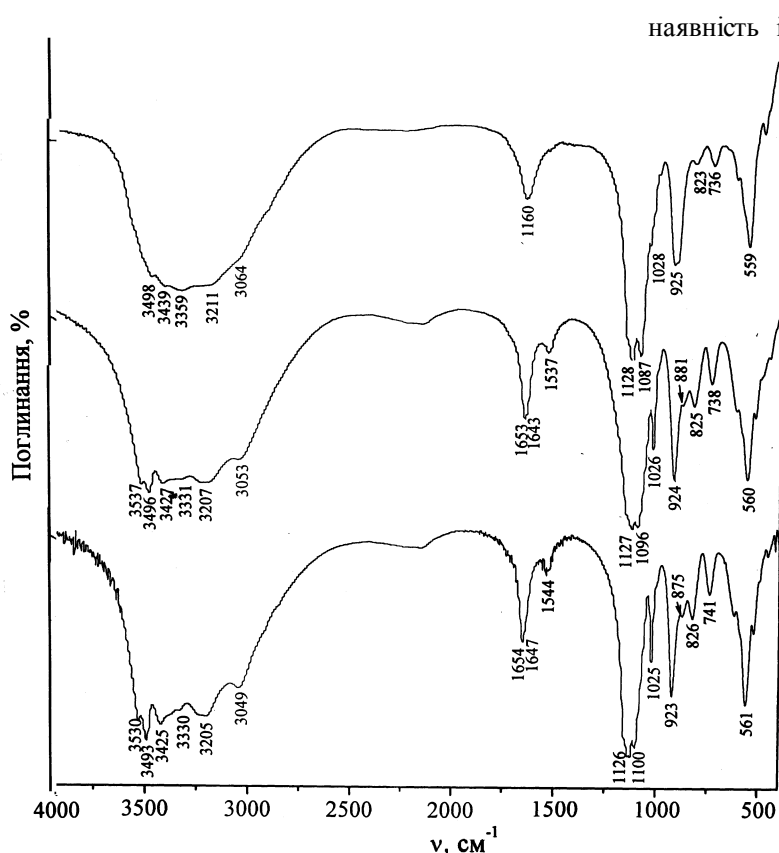


Рис. 3. ІЧ-спектри поглинання $\text{Co}_{2-x}\text{Mn}_x\text{P}_2\text{O}_7 \cdot 6\text{H}_2\text{O}$ з $x = 0$ (1), 0.23 (2) і дифосфатів, одержаних при $K = 13.29$ (3).

Кристалізуються $\text{Co}_{2-x}\text{Mn}_x\text{P}_2\text{O}_7 \cdot 6\text{H}_2\text{O}$ ($0 < x \leq 0.23$) у моноклінній сингонії (просторова група $P2_1/n$, $Z=4$). Розраховані для них параметри елементарної комірки змінюються у відповідності до закону Вегарда і правила Ретгерса, що є однозначним доказом утворення твердого розчину заміщення (табл. 3).

В ІЧ-спектрах $\text{Co}_{2-x}\text{Mn}_x\text{P}_2\text{O}_7 \cdot 6\text{H}_2\text{O}$ ($0 < x \leq 0.23$)

Т а б л и ц я 3

Параметри елементарної комірки дифосфатів $\text{Co}_{2-x}\text{Mn}_x\text{P}_2\text{O}_7 \cdot 5\text{H}_2\text{O}$, $0 < x \leq 0.23$ (моноклінна сингонія, пр. гр. $P2_1/n$, $Z=4$)

Дифосфати	<i>a</i>	<i>b</i>	<i>c</i>	<i>V</i> , нм ³
	нм			
$\text{Co}_2\text{P}_2\text{O}_7 \cdot 6\text{H}_2\text{O}$	0.7202 (2)	1.8348 (4)	0.7677 (3)	1.0137 (7)
$\text{Co}_{1.90}\text{Mn}_{0.10}\text{P}_2\text{O}_7 \cdot 6\text{H}_2\text{O}$	0.7202 (5)	1.8346 (3)	0.7677 (2)	1.0137 (8)
$\text{Co}_{1.84}\text{Mn}_{0.16}\text{P}_2\text{O}_7 \cdot 6\text{H}_2\text{O}$	0.7203 (6)	1.8343 (2)	0.7679 (2)	1.0139 (6)
$\text{Co}_{1.77}\text{Mn}_{0.23}\text{P}_2\text{O}_7 \cdot 6\text{H}_2\text{O}$	0.7204 (6)	1.8340 (2)	0.7680 (2)	1.0140 (8)

наявність ізоморфного катіону (Mn^{2+}) фіксується незначним зміщенням смуг $\nu(\text{OH})$ у високочастотну область спектра (рис. 3). Результати оціночних розрахунків енергії Н-зв'язків у $\text{Co}_{2-x}\text{Mn}_x\text{P}_2\text{O}_7 \cdot 6\text{H}_2\text{O}$ ($0 < x \leq 0.23$) (виконані за рівнянням Соколова [9] по величині цього зсуву відносно коливань вільної молекули води ($\nu_0 = 3700 \text{ см}^{-1}$)), показали, що її значення змінюються в межах 11–43 кДж/моль. Із збільшенням ступеня заміщення $\text{Co}(\text{II})$ на $\text{Mn}(\text{II})$ відбувається послаблення всієї системи Н-зв'язків у межах 2–4 кДж/моль.

В області коливань аніонної підґратки вплив другого катіону (Mn^{2+}) виявляється у незначному зсуві коливань $\nu_s(\text{POP})$ і $\nu_{as}(\text{POP})$. Оцінка за величиною цього зсуви зміни кута мостикового зв'язку $\text{P}-\text{O}-\text{P}$, відповідно до [10], показала, що для дифосфатів ряду $\text{Co}_2\text{P}_2\text{O}_7 \cdot 6\text{H}_2\text{O}$, $\text{Co}_{1.84}\text{Mn}_{0.16}\text{P}_2\text{O}_7 \cdot 6\text{H}_2\text{O}$ і $\text{Co}_{1.77}\text{Mn}_{0.23}\text{P}_2\text{O}_7 \cdot 6\text{H}_2\text{O}$ значення Δ ($\Delta = [\nu_{as}(\text{POP}) - \nu_s(\text{POP})] / [\nu_{as}(\text{POP}) + \nu_s(\text{POP})]$) становлять 10.94, 11.02 і 11.08 %, характеризуючи поступове збільшення кута POP і підвищення симетрії нецентросиметричних $\text{P}_2\text{O}_7^{4-}$ аніонів.

Таким чином, взаємодією в системі $\text{CoSO}_4-\text{MnSO}_4-\text{K}_4\text{P}_2\text{O}_7-\text{H}_2\text{O}$ вперше синтезовано твердий розчин гідратованих дифосфатів складу $\text{Co}_{2-x}\text{Mn}_x\text{P}_2\text{O}_7 \cdot 6\text{H}_2\text{O}$. За хімічною природою він є обмеженим твердим розчином заміщення, що утворюється внаслідок ізоморфного заміщення $\text{Co}(\text{II})$ на $\text{Mn}(\text{II})$ у структурі дифосфату-матриці — $\text{Co}_2\text{P}_2\text{O}_7 \cdot 6\text{H}_2\text{O}$. Області гомогенності твердого розчину становлять $0 < x \leq 0.23$.

РЕЗЮМЕ. Впервые определены условия образования и взаимодействием водных растворов сульфатов $\text{Co}(\text{II})$, $\text{Mn}(\text{II})$ и дифосфата калия синтезирован твердый раствор гидратированных дифосфатов общей формулы $\text{Co}_{2-x}\text{Mn}_x\text{P}_2\text{O}_7 \cdot 6\text{H}_2\text{O}$. Установлено, что по химической природе он является ограниченным твердым раствором замещения, области гомогенности которого изменяются в пределах $0 < x \leq 0.23$. Образуются дифосфаты состава $\text{Co}_{2-x}\text{Mn}_x\text{P}_2\text{O}_7 \cdot 6\text{H}_2\text{O}$ ($0 < x \leq 0.23$) в результате изоморфного замещения кобальта

(II) марганцем (II) в структурі дифосфата-матриці $\text{Co}_2\text{P}_2\text{O}_7 \cdot 6\text{H}_2\text{O}$. Кристалізуються синтезовані дифосфати в моноклінній сингонії (просторова група $P2_1/n$, $Z = 4$) з параметрами елементарної ячейки, котрі змінюються в лінійній залежності від вмісту Co(II) і Mn(II) . Приведені кристаллографічні і ІК-спектроскопічні характеристики дифосфатів твердого розчину.

SUMMARY. For the first time the obtained conditions are determined and the solid solution of hydrated diphosphates with general formula $\text{Co}_{2-x}\text{Mn}_x\text{P}_2\text{O}_7 \cdot 6\text{H}_2\text{O}$ is synthesized. It was established, that $\text{Co}_{2-x}\text{Mn}_x\text{P}_2\text{O}_7 \cdot 6\text{H}_2\text{O}$ on the chemical nature is the limited solid solution of substitution. Areas of its homogeneity change within the range of $0 < x \leq 0.23$. The solid solution is formed as a result of isomorphous substitution of cobalt (II) by manganese (II) in structure of diphosphate-matrix $\text{Co}_2\text{P}_2\text{O}_7 \cdot 6\text{H}_2\text{O}$. It is determined, that synthesized diphosphates crystallize in monoclinic system (space group $P2_1/n$, $Z=4$). Their crystallographic and IR spectroscopical characteristics are given.

1. Щегров Л.Н. Фосфаты двухвалентных металлов. -Киев: Наук. думка, 1987.
2. Констант З.А., Диндуне А.П. Фосфаты двухвалентных металлов. -Рига: Зинатне, 1987.
3. Антрапцева Н.М., Ткачева Н.В. // Журн. прикл. химии. -2009. -82, № 7. -С. 1057—1063.
4. Antraptseva N.M., Tkachova N.V. // Proc. the 4th Intern. Conf. for Conveying and Handling of Particulate Solids. -Budapest, 2003. -1. -P. 2.29—2.34.
5. Антрапцева Н.М., Ткачова Н.В., Неділько С.Г. та ін. // Укр. хим. журн. -2007. -73, № 8. -С. 88—94.
6. Бусев А.И., Иванов В.М. // Журн. аналит. химии. -1963. -18, № 2. -С. 208—215.
7. Антрапцева Н.М., Дегтяренко Л.Н., Рябцева Н.В. // Изв. ВУЗов. Химия и хим. технология. -1992. -35, №10. -С. 40—45.
8. Печковский В.В., Чудинова Н.Н., Мельникова Р.Я. и др. Атлас инфракрасных спектров фосфатов. Конденсированные фосфаты. -М.: Наука, 1990.
9. Соколов Н.Д. // Водородная связь. -М.: Госхимиздат, 1964. -С. 7—39.
10. Лазарев А.Н. Колебательные спектры и строение силикатов. -Л.: Наука, 1968.

Національний університет біоресурсів і природокористування України, Київ

Надійшла 10.12.2010

УДК 546.541.12.017

І.С. Барчій, А.А. Козьма

ФАЗОВІ РІВНОВАГИ У КВАЗІПОТРІЙНІЙ СИСТЕМІ Tl_4SnSe_4 — TlBiSe_2 — Tl_9BiSe_6

Класичними методами фізико-хімічного аналізу вивчено фазові рівноваги в квазіпотрійній системі Tl_4SnSe_4 — TlBiSe_2 — Tl_9BiSe_6 . Встановлено, що в системі формуються граничні тверді розчини: ϵ на основі сполуки Tl_4SnSe_4 , σ — сполуки TlBiSe_2 , α — Tl_9BiSe_6 . Квазіпотрійна система характеризується неваріантною евтектичною взаємодією $L \leftrightarrow \alpha + \sigma + \epsilon$. З використанням методів математичного моделювання побудовано проекцію поверхні ліквідусу на концентраційний трикутник та просторову діаграму стану.

Науково-технічний прогрес вимагає постійного пошуку нових матеріалів, які відповідають вимогам сучасної напівпровідникової техніки. В останні роки складні халькогенідні сполуки є перспективними об'єктами наукових досліджень завдяки комплексу електрофізичних властивостей, що дозволяє на їх основі виготовляти робочі елементи для інфрачервоної та лазерної техніки, нелінійної оптики, термоелектричних генераторів [1]. Проте складність проблеми полягає в тому, що багато електрофізичних, оптичних властивостей залежать не тільки від типу хімічного зв'язку у

речовинах, але дуже чутливі до їх будови — елементів макро- і мікроструктури. Цим зумовлюється зацікавленість матеріалознавців щодо одержання та вивчення нових композитних матеріалів на основі евтектичних сумішей.

Метою даної роботи є дослідження фазових рівноваг у квазіпотрійній системі Tl_4SnSe_4 — TlBiSe_2 — Tl_9BiSe_6 . Побудова діаграми стану дозволить більш детально вивчити характер фізико-хімічної взаємодії, описати поля кристалізації проміжних фаз і цілеспрямовано, з наукової точки зору підійти до проблеми одержання нових матеріалів на

© І.С. Барчій, А.А. Козьма, 2011